

The Preventive Effect of Topical Administration of Human Mesenchymal Stem Cells-Conditioned Medium (MSC-CM) on DNCB-Induced Atopic Dermatitis-Like Model in Mice

Zahra Mohammadi¹  , Majid Hassanpourzatti^{1*} 

¹ Dept of Biology, School of Basic Sciences, Shahed University, Tehran, Iran

Article Info

Article type:
Research article

Article History:

Received: 29 May 2022
Revised: 27 July 2022
Accepted: 10 September 2022
Published Online: 23 January 2023

*** Correspondence to:**

Majid Hassanpourzatti
Dept of Biology, School of Basic Sciences, Shahed University, Tehran, Iran
Email:
hassanpour@shahed.ac.ir

A B S T R A C T

Introduction: Atopic dermatitis (AD) is a chronic inflammatory skin disease for which there is no adequate treatment. Mesenchymal stem cells have already been used to treat inflammatory diseases. The present study investigated the effect of the administration of human mesenchymal stem cells-conditioned medium (MSC-CM) on the AD model and its relationship with central pain, the level of oxidative, and inflammatory stress factors in the skin.

Material & Methods: The AD model was established by topical administration of a 2% 4,2-dinitrochlorobenzene (DNCB) solution on the dorsal and ear skin of mice. Mice received topical MSC-CM and betamethasone ointment as a positive control three times a day for 2 weeks. Skin interleukin-4 (IL-4) and malondialdehyde (MDA) levels were measured by the ELISA method in all groups. Changes in nociception were assessed by the tail flick test. Histological changes in the body and ear skins were evaluated after hematoxylin-eosin (H&E) staining, and mast cells number in toluidine blue-stained sections were counted in this study.
(Ethic code: IR.SHAHED.REC.1399.095)

Findings: Topical administration of MSC-CM and betamethasone was able to reduce pain, inflammation, and changes of dermis thickness in the dorsal and ear skins, as well as the infiltration of mast cells in the skin of groups treated with DNB. Moreover, MSC-CM, similar to betamethasone, decreased the level of IL-4 and MDA levels in the skin of DNB receiving groups.

Discussion & Conclusion: The increase in IL-4 levels and lipid peroxidation play an important role in inducing AD-like lesions in the skin of the mouse in the DNB model; in addition, the topical application of the MSC-CM is a potential therapeutic agent for AD.

Keywords: Atopic dermatitis, Conditioned culture media, Dinitrochlorobenzene, Interleukin-4, Mesenchymal Stem Cells

➤ How to cite this paper

Mohammadi Z, Hassanpourzatti M. The Preventive Effect of Topical Administration of Human Mesenchymal Stem Cells-Conditioned Medium (MSC-CM) on DNB-Induced Atopic Dermatitis-Like Model in Mice. Journal of Ilam University of Medical Sciences. 2022;30(6): 32-44.



© The Author(s)

Publisher: Ilam University of Medical Sciences

اثر پیشگیری کننده تجویز موضعی محیط کشت بهینه با سلول‌های بینایی مزانشیمی (MSC-CM) انسانی بر نوع شبه درماتیت آتوپیک ناشی از DNCB در موش

 زهرا محمدی^۱, دکتر مجید حسن پور عزتی^{۱*}

^۱ گروه زیست‌شناسی، دانشکده علوم پایه، دانشگاه شاهد، تهران، ایران

چکیده

اطلاعات مقاله

نوع مقاله: پژوهشی

تاریخ دریافت: ۱۴۰۱/۰۳/۰۸

تاریخ ویرایش: ۱۴۰۱/۰۵/۰۵

تاریخ پذیرش: ۱۴۰۱/۰۶/۱۹

تاریخ انتشار: ۱۴۰۱/۱۱/۰۳

مقدمه: درماتیت آتوپیک (AD) بیماری پوستی التهابی مزمونی است که درمان کافی برای آن وجود ندارد. سلول‌های

بینایی مزانشیمی پیش از این نیز برای درمان بیماری‌های التهابی استفاده شده‌اند. در مطالعه حاضر، اثر تجویز محیط کشت بهینه (MSC-CM) با سلول‌های بینایی مزانشیمی انسان بر نوع AD و ارتباط آن با درد مرکزی، سطح فاکتورهای استرس اکسیداتیو و التهابی در پوست بررسی گردید.

مواد و روش‌ها: گونه AD توسط تجویز موضعی محلول حاوی ترکیب ۲۰۴ دی‌نیترو کلروبنزن ۲ درصد (DCNB)

روی پوست پشت و گوش موش‌ها ایجاد شد. موش‌ها MSC-CM و کرم بتاماتازون را به عنوان کنترل مثبت، سه بار در روز به مدت ۲ هفته به صورت موضعی دریافت کردند. سطح ایترولوکین-۴ (IL-4) و مالون دی‌آلدید (MDA) پوست در همه گروه‌ها به روش ELISA اندازه‌گیری گردید. تغییر در آستانه درد توسط آزمون پس کشیدن دم ارزیابی شد. تغییرات بافتی پوست بدن و گوش پس از رنگ‌آمیزی بافتی هماتوکسیلین-انوزین ارزیابی گردید و تعداد ماستل‌ها در برش‌های رنگ‌آمیزی شده با تولوئیدن بلو شمارش شدند.

یافته‌ها: تجویز موضعی MSC-CM و بتاماتازون توانست درد، التهاب و افزایش ضخامت درم در پوست پشت و لاله گوش و همچنین نفوذ سلول‌های ماست در پوست گروه‌های درمان شده با DNCB را کاهش دهد؛ همچنین MSC-CM مشابه با بتاماتازون، سبب کاهش سطح IL-4 و MDA پوست گروه‌های دریافت کننده DNCB شد.

بحث و نتیجه‌گیری: افزایش سطح IL-4 و پراکسیداسیون لیپیدی نقش مهمی در ایجاد ضایعات شبه AD در پوست موش در مدل DNCB ایفا می‌کند و کاربرد موضعی MSC-CM عامل درمانی بالقوه ای برای AD است.

نویسنده مسئول:

مجید حسن پور عزتی

گروه زیست‌شناسی، دانشکده علوم پایه، دانشگاه شاهد، تهران، ایران

Email:
hassanpour@shahed.ac.ir

واژه‌های کلیدی: درماتیت آتوپیک، دی‌نیترو کلروبنزن، محیط کشت غنی‌شده، سلول‌های بینایی مزانشیمی، ایترولوکین-۴

استناد: محمدی، زهرا؛ حسن پور عزتی، مجید. اثر پیشگیری کننده تجویز موضعی محیط کشت بهینه با سلول‌های بینایی مزانشیمی (MSC-CM) انسانی

بر نوع شبه درماتیت آتوپیک ناشی از DNCB در موش. مجله علمی دانشگاه علوم پزشکی ایلام، بهمن ۱۴۰۱؛ ۳۰(۶): ۴۴-۳۲.



است (۶).

برخی از سلول‌های بنیادی خاصیت آنتی‌اکسیدانی دارند و تجویز موضعی آن‌ها بر سطح پوست آثار حفاظتی در برابر عوامل التهابی و استرس اکسیداتیو در پی داشته است (۷). سلول‌های بنیادی مقدار فراوانی ویزیکول های حاوی محصولات با خاصیت تعدیل کننده ایمنی و ضدالتهابی را به درون محیط کشت اطرافشان آزاد می‌کنند؛ بنابراین، محیط کشت بهینه یا غنی‌شده با سلول‌های بنیادی (MSC-CM)، حاوی مقدار چشمگیری از این ویزیکول‌ها است و این محیط کشت می‌تواند ترکیب درمانی بالقوه‌ای برای اختلالاتی با منشأ ایمنی و التهابی محسوب شود (۸). حضور موادی چون نیتریک اکساید (nitric oxide) و بسیاری از عامل‌های رشد در محیط کشت غنی‌شده با سلول‌های بنیادی توسط شواهد رو به افزایشی تأیید شده است (۹)؛ بنابراین، در این پژوهش تصمیم گرفته شد تا ابتدا اثر تجویز موضعی MSC-CM بر مدل AD القاشه توسط DNCB در موش‌های کوچک آزمایشگاهی ارزیابی گردد و سپس تغییرات غلظت IL-4 و MDA پوست در موش‌ها در گروه‌های درماتیتی درمان شده با MSC-CM و باتمازوون، به عنوان یک کنترل مثبت و درماتیتی درمان نشده، با یکدیگر مقایسه شوند.

مواد و روش‌ها

در این مطالعه از موش‌های کوچک نر نژاد بالبُسی با میانگین وزنی 25 ± 5 گرم و سن ۸ هفته استفاده شد. این موش‌ها درون قفس‌های پلی‌اتیلن با سقف توری فلزی و دسترسی آزاد به آب و غذای استاندارد نگهداری گردیدند. موش‌ها به صورت تصادفی به گروه‌های کنترل، کنترل تحت درمان با محیط کشت تازه، درماتیتی شده با DNCB، درماتیتی با DNCB و تحت درمان با MSC-CM، درماتیتی با

درماتیت آتوپیک (Atopic dermatitis) یا به اختصار AD بیماری پوستی است که علل متنوعی برای آن ذکر شده است؛ اما به طور کلی، به هر نوع ضایعه پوستی با ماهیت التهابی درماتیت گفته می‌شود. علائم اصلی درماتیت شامل راش، تاول، خشکی، ترک‌خوردگی، خارش، سوزش، قرمزی، تورم و التهاب پوست است. عوارض ناشی از ابتلا به درماتیت را می‌توان با استفاده داروها و کرم‌های موضعی موجود در بازار دارویی تا حدودی برطرف کرد؛ اما درمان قطعی برای انواع مقاوم آن هنوز ارائه نشده است. یکی از اهداف مهم محققان یافتن روش‌های درمانی مناسب برای انواع درماتیت به ویژه انواع مقاوم به درمان است. بسیاری از بیماران مبتلا به این بیماری از درد مرکزی نیز رنج می‌برند (۱)؛ بنابراین، محققان به دنبال یافتن سازوکار درد در این بیماری و ارزیابی ترکیبات تسکین‌دهنده درد AD در مدل‌های حیوانی هستند. اهمیت توجه به این بعد از AD بدان سبب است که بروز درد در مبتلایان به این بیماری باعث کاهش کیفیت زندگی آنان می‌شود (۲).

سایتوکین‌ها ترکیباتی هستند که در تنظیم شدت التهاب‌های پوست نقش مهمی را بر عهده دارند. افزایش غلظت انواع متنوعی از سایتوکین‌های پیش‌التهابی در پوست بیماران AD، از جمله عامل نکروز تومور (TNF) و انواع متنوعی از اینتلولوکین‌ها گزارش شده است که از این میان، افزایش سطح اینتلولوکین-۴ (IL-4) بیش از دیگر عامل‌ها حائز اهمیت شناخته شده است (۳، ۴). در پوست مبتلایان به AD، به دنبال افزایش سطح IgE، سطح IL-4 افزایش می‌یابد و با فعال شدن گیرنده‌های آن در پوست، ماستسل‌ها فعال می‌گردد و درنتیجه، التهاب پوستی بروز می‌کند (۵). علاوه بر این، تولید MDA نیز به عنوان یکی از محصولات پراکسیداسیون لیپیدی در پوست در مدل‌های حیوانی شبه درماتیت گزارش شده

کار در روزهای ۱۵، ۱۸ و ۲۲ نیز تکرار شد. در گروه‌های کنترل غیر درماتیت، موش‌ها تنها محلول حاوی استون و روغن زیتون را در گوش راست و ناحیه پشت بدن خود به صورت جلدی دریافت می‌کردند. در گروه تیمار با MSC-CM، یک روز پس از القای درماتیت، MSC-CM به میزان ۱۰۰ میکرولیتر به صورت موضعی مالیده می‌شد و این کار به صورت روزانه سه بار به مدت دو هفته ادامه یافت. گروه کنترل در مثبت پماد تجاری بتامتاژون (بتامتاژون ۱/۳ درصد، داروپخت، ایران) را با همان حجم محلول DNCB به صورت موضعی دریافت کردند. گروه کنترل در مدت مشابه، واژلین را به صورت موضعی دریافت کرد. سلول‌های بنیادی مزانشیمی (MSC) بافت چربی انسان از بانک سلولی مرکز سلول درمانی پژوهشگاه رویان اخذ شدند. این سلول‌ها درون فلاسک‌های حاوی محیط کشت (DMEM) شرکت ایده زیست (به همراه ۲۵ درصد سرم جنین گاوی [FBS,Gibco,UK] و ۲۱ واحد بین‌المللی در میلی‌لیتر پنی‌سیلین و یک درصد استرپتومایسین) در دمای ۳۳ درجه سانتی‌گراد و در غلظت ۵ درصد دی‌اکسید کربن کشت داده شده بودند. ابتدا MSC دومرتبه پاساژ داده شدند و زمانی که این سلول‌ها ۸۰ درصد بستر فلاسک‌های ۳۵ سانتی‌متری را پر کردند، دومرتبه با محلول PBS شستشو شدند و سپس به هر فلاسک ۲۱ میلی‌لیتر محیط کشت DMEM فاقد سرم افزوده گردید و به مدت ۴۸ ساعت انکوبه شدند. پس از این مرحله، محیط کشت جمع‌آوری گردید و به مدت ۵ دقیقه در دور ۵۰۰ g سانتریفیوژ شد تا خرده‌های سلولی موجود در آن حذف شود. این محیط کشت که به آن محیط کشت شرطی شده با سلول‌های مزانشیمی (MSC-CM) اطلاق می‌گردد تا زمان استفاده، در دمای ۸۰- درجه سانتی‌گراد نگهداری شد. در این پژوهش، سنجش آستانه درد موش‌ها به روش پیشنهادی دث و همکاران در سال ۲۰۱۸ و با آزمون

DNCB و تحت درمان با پماد بتامتاژون و درماتیتی با DNCB و تحت درمان با محیط کشت تازه تقسیم‌بندی شدند. برای تهیه محلول استوک DNCB میزان ۲۵۵ میلی‌گرم از گرانول‌های DNCB (۲-کلرو ۴-دی‌نیتروبنزن، مرک، آلمان) با ترازوی دیجیتال توزین و در درون یک لوله فالکون ریخته شد؛ سپس حلal حاوی مخلوط استون و روغن زیتون با نسبت ۲ به ۵ همراه با هم زدن مداوم، با استفاده از پیپت پاستور، به این پودر در مدت ۲۰ دقیقه افزوده گردید؛ سپس محلول ۲ درصد از DNCB با اضافه کردن حلal حاوی روغن زیتون و استون به محلول استوک تهیه شد. موش‌ها به هنگام تجویز موضعی محلول ۲ درصد از DNCB برای حفظ اصول اخلاقی کار با حیوانات، توسط تجویز داخل صفاقی محلول کتامین و زایلازین بیهوش گردیدند. این محلول حاوی کتامین ۱۰۰ میلی‌گرم/کیلوگرم) و زایلازین (۱۰ میلی‌گرم/کیلوگرم) در فسفات بافر سالین (PBS) و رقیق‌سازی دشه تا ۱۰ برابر حجم اولیه اش بود. موهای ناحیه پشت بدن موش‌ها پس از بیهوشی در همه گروه‌ها چیده و سپس محلول ۲ درصد از DNCB بر پشت بدن و روی گوش راست موش‌ها مالیده می‌شد. زمان‌بندی تجویز DNCB برای القای درماتیت و تجویز محیط کشت به این صورت بود که ابتدا، پوست ناحیه پشت بدن موش‌ها موچینی گردید و سپس حدود ۱۰۰ میکرولیتر از محلول ۲ درصد به نواحی پشت و یا سطح یک گوش هر حیوان تا سه روز متوالی به طور روزانه مالیده می‌شد تا حساسیت در پوست موش‌ها نسبت به این ترکیب ایجاد شود (۱۰). در مرحله ایجاد حساسیت، معمولاً واکنش بافتی در پوست موش‌ها دیده نمی‌شد. در مرحله بعد که القای درماتیت نام داشت، پنج روز پس از آخرین روز حساسیت زایی ۲ DNCB سه روزه، حدود پنجاه میکرولیتر از محلول درصد به پوست ناحیه پشت بدن و سطوح داخلی و خارجی یک گوش (گوش سمت راست) مالیده و این

پرتوئین موجود در هر محلول با روش بردفورد اندازه‌گیری گردید (۱۳). غلظت MDA موجود در هر نمونه با استفاده از معروف اسید ۵-تیوباربیتوريک و به روش فلوریمتری، بر اساس دستورالعمل کانتی و همکاران و با استفاده از کیت (شرکت طب پژوهان رازی) تعیین شد (۱۴). سطح اینتلوکین-۴ در هر نمونه توسط کیت ELISA تجاری این ترکیب اندازه‌گیری گردید. نتایج به صورت میانگین \pm SEM بیان شدند. تفاوت میان t-student گروه‌ها با استفاده از تحلیل واریانس و آزمون t-student با نرم افزار آماری پریسم ارزیابی گردید. تفاوت داده‌ها با $P < 0.05$ معنی دار شناخته شدند. برای مقایسه داده‌های امتیاز درماتیت از آزمون آماری ANOVA و آزمون Least significant difference (LSD) یا به اختصار (test) حداقل اختلاف معنی دار (P < 0.05) استفاده گردید.

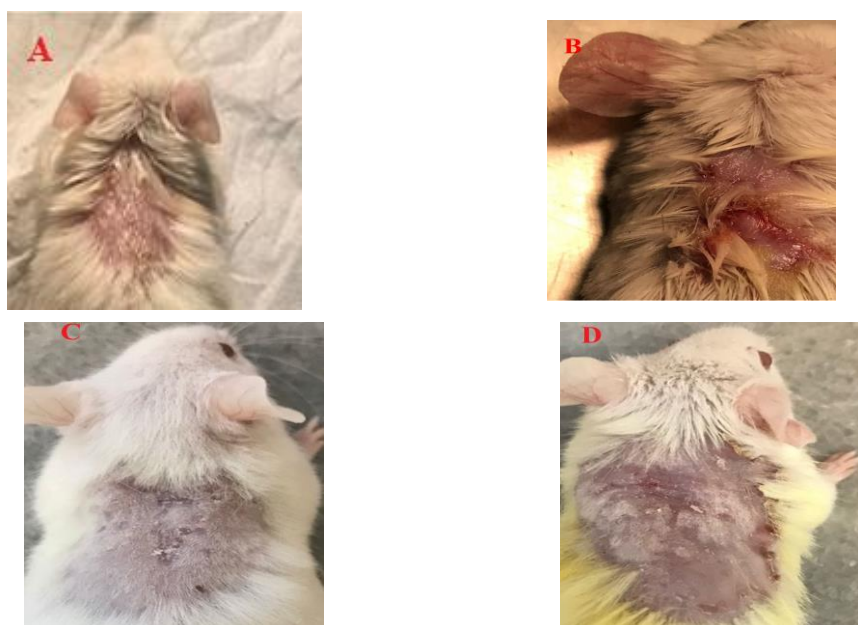
یافته ها

شکل شماره ۱ قسمت های A تا D تصاویر پوست ناحیه پشت موش ها در گروه های دریافت کننده DNCB و درمان شده با MSC-CM و باتمان تازون ۱/۳ درصد را نشان می دهد. موش های کنترل هیچ گونه ضایعه پوستی را نشان ندادند (شکل شماره ۱-A). تجویز جلدی DNCB باعث ایجاد علائم شبیدرماتیت در سطح پوست بدن و گوش موش ها شد (شکل شماره ۱-B). شدت این علائم در گروه های تحت درمان با MSC-CM (شکل شماره ۱-C) و درمان شده پماد باتمان تازون (شکل شماره ۱-D) در مقایسه با گروه دریافت کننده DNCB به تنها یی کمتر بود. قدرت اثربخشی MSC-CM بر درماتیت با میزان اثربخشی پماد باتمان تازون مساوی بود.

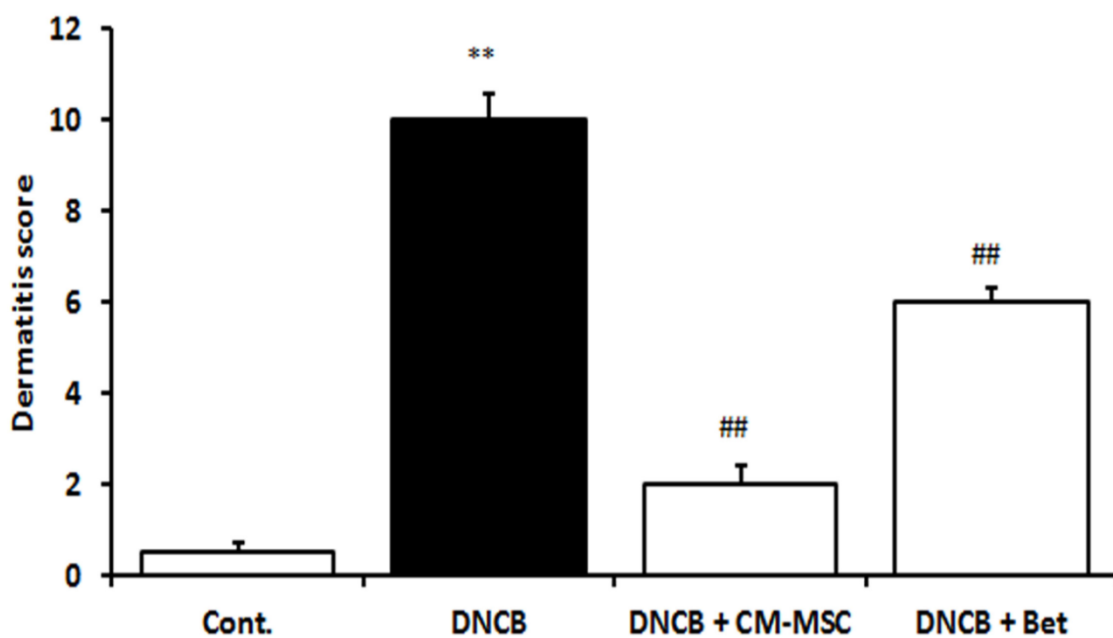
شکل شماره ۲ میانگین امتیاز درماتیت در گروههای مختلف را نشان می‌دهد. گروه‌ها شامل کنترل (Cont)، درماتیتی با دی‌نیترو کلروبنزن (DNCB)، درماتیتی با DNCB به همراه محیط شرطی شده با سلول‌های بنیادی (MSC-CM) و درماتیتی به همراه بتامتازوون (1/۳) در صد است.

پس کشیدن دم (Tail-flick test) اندازه گیری گردید (۱۱). از پوست ناحیه پشت بدن و گوش موش‌ها در محل تجویز DNCB و MSC-CM، یک روز پس از آخرین تیمار و سنجش آستانه درد، در شرایط بیهوده نمونه برداری شد. نیمی از نمونه‌های پوستی در محلول فرمالین ۱۰ درصد فیکس گردیدند. این نمونه‌های بافتی پس از آبگیری و شفاف‌سازی، قالب گیری و مقاطعی به ضخامت ۴ تا ۵ میکرومتر با استفاده از دستگاه میکروتوم از آن‌ها تهیه شد. ارزیابی هیستوپاتولوژیک بافت پوست و شمارش سلول‌های ماست به ترتیب پس از رنگ آمیزی‌های هماتوکسیلین-اوزین و تولوئیدن بلو (Toluidine blue) روی همه مقاطع بافتی انجام گردید. لام‌ها زیر میکروسکوپ نوری با بزرگنمایی‌های یکسان مشاهده و از نظر شدت التهاب، ضخامت اپiderم، میزان خونریزی، ادم، پرخونی و عفونت ثانویه بررسی شدند. این ارزیابی‌ها به صورت کور و بدون اطلاع بافت‌شناس از گروه‌ها صورت گرفت. شدت التهاب نمونه‌های پوستی بر اساس روش پیشنهادی ژانگ و همکاران در سال ۲۰۱۸ به شرح ذیل درجه‌بندی شد (۱۲): امتیاز ۱. بدون التهاب؛ امتیاز ۲. کمترین میزان التهاب؛ امتیاز ۳. التهاب متوسط؛ امتیاز ۴. التهاب خفیف؛ و امتیاز ۵. التهاب شدید.

برای بررسی های بیوشیمیایی، از نیمة دیگر نمونه های پوست ناحیه پشت بدن موش ها استفاده گردید. این نمونه های بافتی پس از شست و شو با محلول سالین نرمال توزین شدند؛ سپس هر نمونه به یک لوله فالکون منتقل و محلول PBS (pH=4.7) به حجم ۱۰ میلی لیتر به آن اضافه و به مدت ۲ دقیقه در دستگاه هموژنایزر با سرعت ۵۰۰۰ دور در دقیقه هموژنیزه گردید. در همه مراحل هموژنیزه سازی، محلول حاوی نمونه ها در مجاورت بستر حاوی یخ قرار داشت؛ سپس محلول فوقانی (سوپرناتانت) لوله ها به وسیله سمپلر جدا و تا زمان بررسی های بیوشیمیایی، در دمای ۸۰- درجه نگهداری شد. انتدا میزان



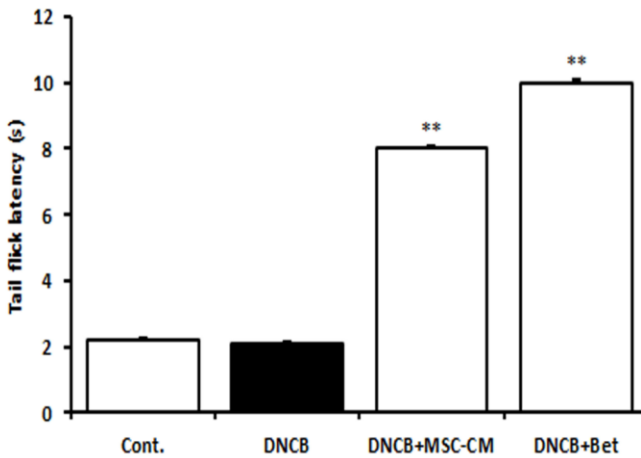
شکل شماره ۱. عکس‌هایی از ناحیه پشت و گوش موش‌ها به دنبال القای درماتیت توسط DNCB و درمان‌های مختلف. تصاویر به ترتیب از سمت راست شامل موش کنترل (A)، موش مبتلا به درماتیت القا شده توسط تجویز سه روزه DNCB (B)، موش درماتیتی با DNCB و درمان با محیط کشت شرطی شده (MSC-CM) (C) و موش درماتیتی با DNCB و درمان شده با بتاماتازون (Bet) ۱/۳ درصد (D) است.



شکل شماره ۲. امتیاز درماتیت میان گروه‌های دریافت کننده DNCB و درمان با MSC-CM و درمان با MSC-CM درماتیتی، درماتیتی شده با DNCB، درماتیتی درمان شده با MSC-CM و درماتیتی درمان شده با بتاماتازون هستند. داده‌ها توسط ANOVA یک طرفه و آزمون LSD با یکدیگر مقایسه شدند. علامم به ترتیب سطح معنی داری با $**P<0.01$ در مقایسه با گروه کنترل و $##P<0.01$ در مقایسه با گروه DNCB را نشان می‌دهد. تعداد موش‌های هر گروه ۵ عدد است. حروف اختصاری: DNCB: دی‌کلرو نیتروبنزن، MSC-CM: محیط کشت غنی شده.

درمان با MSC-CM و بتاماتازون در موش‌های دریافت کننده DNCB سبب افزایش معنی دار ($P<0.01$) زمان تأخیر تا پاسخ پس کشیدن دم موش‌ها در مقایسه با گروه کنترل شد.

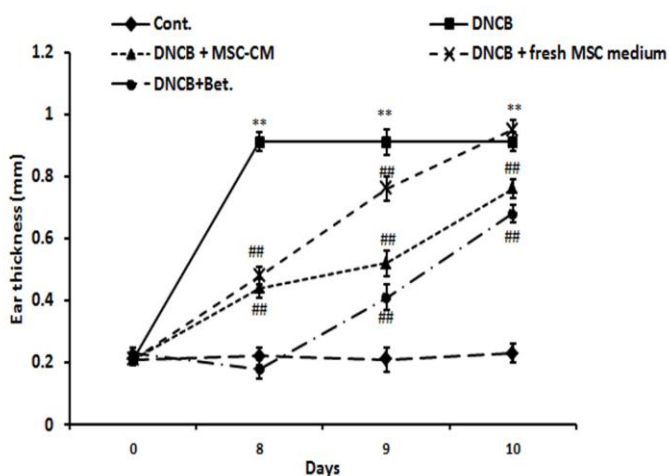
شکل شماره ۳ نتایج آستانه درد حاد موش‌ها در آزمون پس کشیدن دم در گروه‌های مختلف را نشان می‌دهد. تجویز DNCB به تهابی تأثیری بر آستانه درد حاد موش‌ها ندارد.



شکل شماره ۳. اثر درمان با محیط کشت شرطی شده بر آستانه درد در موش های درماتیتی شده با DNB در مقایسه با باتماتازون. داده ها به صورت میانگین زمان تأخیر تا پاسخ پس کشیدن دم \pm انحراف معیار استاندارد است. تعداد موش ها در هر گروه ۵ سر است. حروف اختصاری: Cont: گروه کنترل، DNCB: گروه دی نیترو کلروبنزن، DNCB+CM-MSC: گروه دی نیترو کلروبنزن + محیط کشت شرطی شده با سلول های مزانشیمی، DNCB+BM = گروه باتماتازون + دی کلرو نیترو بنزن. داده ها با ANOVA و آزمون متعاقب توکی مقایسه شده اند. سطح معنی داری با $P < 0.01$ ** در مقایسه با گروه کنترل است.

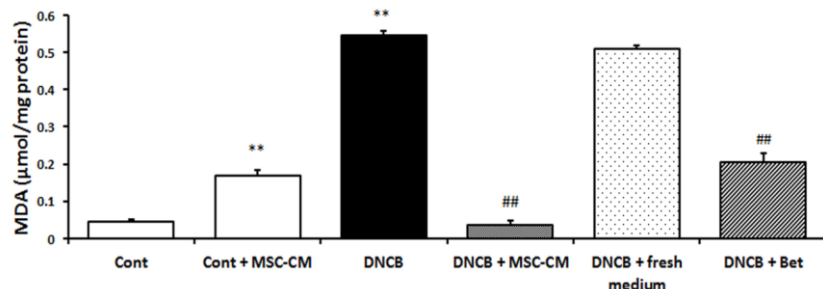
DNCB افزایش یافت. درمان با MSC-CM روند افزایش ضخامت و ضخامت نهایی گوش موش های دریافت کننده DNCB را کاهش داد. استفاده از محیط کشت تازه و پماد باتماتازون نیز سبب کاهش معنی دار اثر افزایشی تجویز DNCB بر ضخامت گوش موش ها شد.

شکل شماره ۴ مقایسه میانگین ضخامت گوش در موش های گروه های مختلف طی ده روز پس از آخرین تجویز DNCB را نشان می دهد. میانگین ضخامت گوش موش ها از ۰/۲ در روز پیش از شروع تجویز DNCB، به ۱ میلی متر در پایان هشت روز پس از آخرین روز درمان با

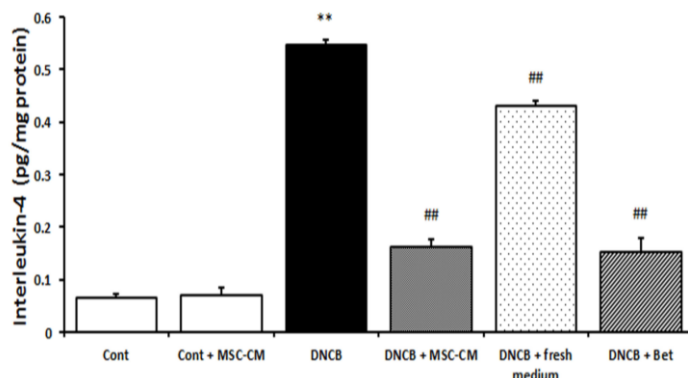


شکل شماره ۴. تغییرات ضخامت گوش موش ها در گروه های درمانی مختلف به دنبال القای درماتیت. نتایج به صورت میانگین \pm میانگین خطای استاندارد ارائه شده اند. گروه ها به ترتیب شامل کنترل (Cont)، درماتیت الفاشه با DNCB، درماتیت با DNCB+MSC-CM، درماتیت با DNCB+fresh medium (DNCB+MSC-CM)، درماتیت با DNCB+Bet. درصد $1/3$ باتماتازون در مقایسه شده اند. داده ها با آزمون واریانس دوطرفه و بونفرنی مقایسه شده اند. ** $P < 0.01$ در مقایسه با کنترل و ## $P < 0.01$ در مقایسه با گروه DNCB است.

پوست ناحیه پشت بدن موش های دریافت کننده DNB_C مشاهده می شود؛ همچنین درمان با محیط کشت تازه و DNB_C، سطح این ترکیب را به میزان ۸/۳ برابر گروه کنترل افزایش داد، هرچند غلظت ۴ IL-4 در بافت پوست نمونه های کنترل تحت درمان با MSC-CM در مقایسه با کنترل بدون درمان، تفاوت معنی داری نشان نداد. درمان پوست با MSC-CM به مدت یک هفته، سبب کاهش معنی دار در سطح ۴ IL-4 در پوست موش های دریافت کننده DNB_C شد. تجویز بتاماتازون مشابه با MSC-CM، سبب کاهش (۱/۳ درصدی) ۴ IL-4 در پوست داشت. تجویز محیط کشت تازه به مدت یک هفته به موش های دریافت کننده DNB_C، تنها اندکی سبب کاهش ۴ IL-4 در بافت پوست در مقایسه با گروه DNB_C به تنهایی گردید.



شکل شماره ۵. سطح MDA در پوست موش ها در گروه های القای درماتیت با DNB_C و درمان مختلف. داده ها به صورت میانگین ± انحراف معیار ارائه شده اند. تجزیه و تحلیل آماری با استفاده از آنالیز واریانس یک طرفه و مقایسه چند مرحله ای توکی صورت گرفت. **P<0.01. *P<0.05 در مقایسه با کنترل و ##P<0.01 در مقایسه با گروه DNB_C است.



شکل شماره ۶. سطح ایتلرلوکین-۴ در پوست موش های گروه های القای درماتیت با DNB_C و درمان مختلف. داده ها به صورت میانگین ± انحراف معیار ارائه شده اند. تجزیه و تحلیل آماری با استفاده از آنالیز واریانس یک طرفه و مقایسه چند مرحله ای توکی صورت گرفت. **P<0.01. *P<0.05 در مقایسه با کنترل و ##P<0.01 در مقایسه با گروه DNB_C است. گروه ها به ترتیب شامل کنترل (Cont)، درماتیت القا شده با DNB_C، درماتیتی با DNB_C+درمان با محیط کشت شرطی شده (DNB_C+MSC-CM)، درماتیتی با DNB_C+ بتاماتازون ۱/۳ درصد (DNB_C+Bet)، درماتیتی با DNB_C+DNCB+Bet (DNB_C+Bet) است.

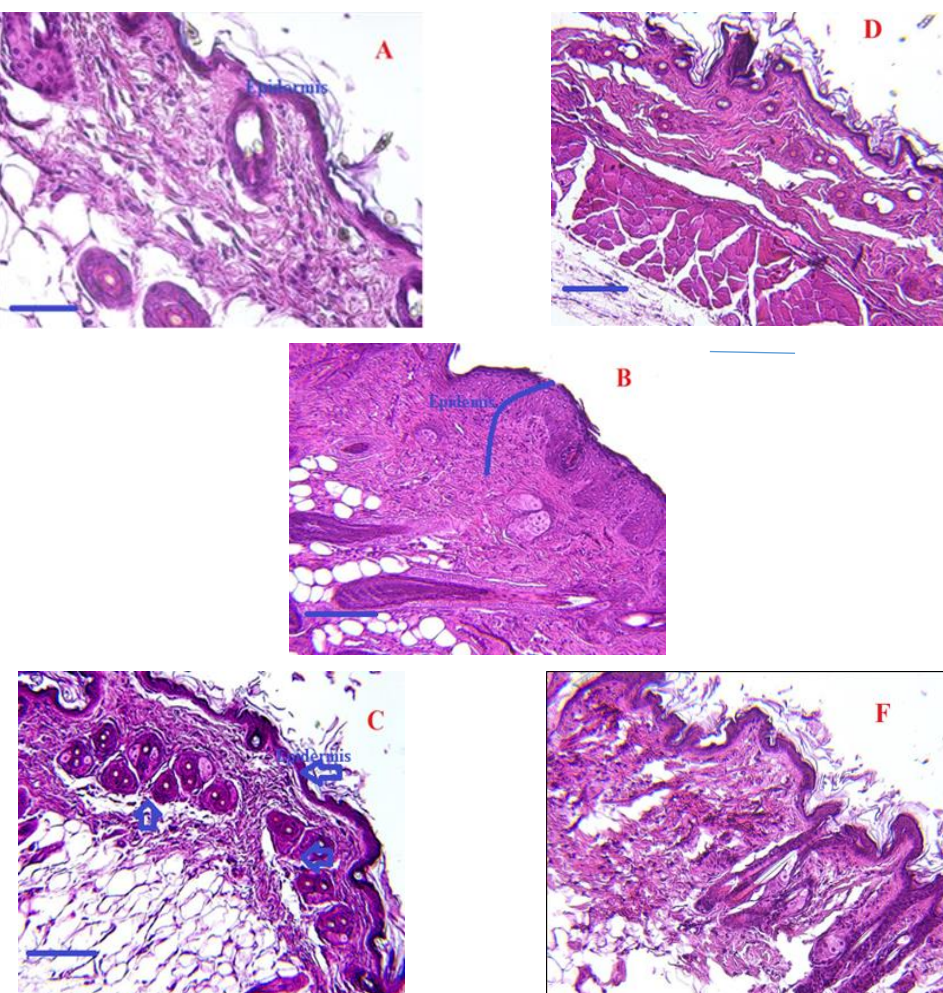
شکل شماره ۵ نشان می دهد که میزان غلظت MDA در بافت پوست موش های گروه ۵/۱ DNB_C برابر میزان آن در گروه کنترل است (شکل شماره ۵). درمان با MSC-CM به تنهایی نیز سبب افزایش ۳/۳ برابر غلظت MDA در پوست موش ها شد؛ اما درمان با CM در موش های دریافت کننده DNB_C به کاهش معنی دار در سطح MDA پوست در مقایسه با گروه DNB_C به تنهایی منجر گردید. درمان با پماد بتاماتازون در مقایسه با MSC-CM، به میزان کمتری سبب کاهش غلظت MDA در پوست موش های دریافت کننده DNB_C شد.

شکل شماره ۶ اثر درمان های گوناگون بر غلظت IL-4 پوست موش ها را نشان می دهد. بر اساس این شکل، افزایش معنی دار (P<0.01) غلظت IL-4 در نمونه های

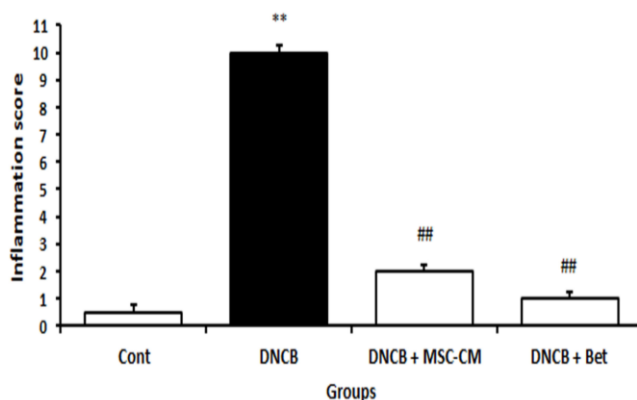
فولیکول‌های مو همراه با سلول‌های چربی اطراف آن‌ها در حال شکل‌گیری هستند (فلش‌ها در شکل شماره ۷). به طور مشابه با گروه درماتیتی درمان‌شده با MSC-CM، در گروه درمان‌شده با پماد باتماتازون نیز، اپیدرم حالت طبیعی یافته و هر سه لایه اپیدرم، درم و هیپودرم پوست تشکیل شده و رگ‌های خونی موجود در نمونه پوستی این گروه بسیار اندک است و تعدادی از فولیکول‌های ریز در حال شکل‌گیری هستند.

نمونه پوست تهیه شده از گروه درماتیتی درمان‌شده با محیط کشت تازه نیز لایه اپیدرمی ضخیم‌تر از گروه کنترل دارد؛ اما در این گروه آسیب‌هایی در لایه درم دیده می‌شود و علاوه بر این، فولیکول‌های مو از بین رفته‌اند.

تصاویر برش‌های بافتی پوست و گوش موش‌ها (رنگ‌آمیزی شده با هماتوکسیلین-ائوزین) در شکل شماره ۷ ارائه شده است. اپی‌تیلیوم نازک و طبیعی، فولیکول‌های موی قابل روئیت و گرانولیشن اندکی در نمونه پوست موش‌ها گروه کنترل دیده می‌شود؛ اما در گروه درماتیت، اپی‌تیلیوم پوست ضخیم و ساختار آن بهم ریخته و ساختار فولیکول‌های مو از بین رفته است و گرانولیشن همراه با علائم التهابی شدید در بخش درم مشاهده می‌گردد؛ همچنین رگ‌های خونی پوست در نمونه تهیه شده از گروه درماتیت پرخون‌تر از حالت طبیعی‌اند؛ اما ضخامت اپی‌تیلیوم پوست و گرانولیشن در گروه درماتیتی درمان‌شده با MSC-CM به حالت طبیعی بازگشته است و التهاب کمتری دیده می‌شود و

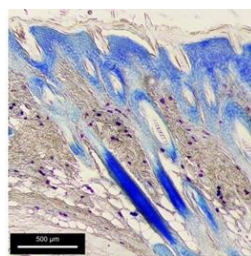


شکل شماره ۷. تصاویر میکروسکوپ نوری نمونه پوست موش‌های (رنگ‌آمیزی شده با هماتوکسیلین-ائوزین) دچار درماتیت القا شده توسط DNCB، درمان‌شده با MSC-CM در مقایسه با گروه کنترل. گروه‌ها شامل کنترل سالم (A)، درماتیتی با DNCB (B)، درماتیتی با DNCB و درمان با محیط کشت غنی شده (C)، درماتیتی با DNCB و درمان‌شده با محیط کشت تازه (D) و کنترل سالم که تنها محیط کشت تازه (F) (میله مقیاس ۱۰۰ میکرومتر) است.

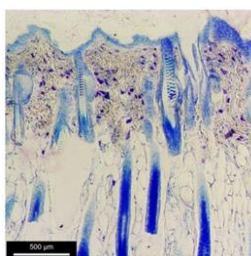


شکل شماره ۸. امتیاز التهاب بافت پوست ناحیه پشت موس. ابتدا نمونه بافت توسط هماتوکسیلین-اوزرین رنگ آمیزی شد و سپس امتیاز التهاب بر اساس توضیحات مندرج در متن مقاله محاسبه گردید. گروه‌ها شامل کنترل سالم، درماتیتی با DNCB، درماتیتی با DNCB و درمان با MSC-CM درماتیتی با DNCB و درمان شده با پماد باتماتازون است. داده‌ها به صورت میانگین \pm SEM بیان می‌شوند. تفاوت معنی دار میان گروه‌ها با استفاده از آزمون t غیر زوجی Student و سپس آنالیز تعقیبی فیشر مشخص گردید. مقدار $*P<0.01$ و $**P<0.001$ به عنوان نشانه‌ای از معنی دار بودن آماری در مقایسه با گروه کنترل و $##P<0.01$ در مقایسه با گروه دریافت کننده DNCB ارائه شده‌اند.

به روش تولوئیدن بلو تهیه شده از گروه‌های مختلف را نشان می‌دهد. تعداد ماستسل‌ها در نمونه پوست گروه درماتیتی در مقایسه با گروه کنترل، به طور چشمگیری بیشتر است. تجمع ماستسل‌ها در گروه کنترل مشاهده نمی‌شود؛ همچنین در گروه درماتیتی درمان شده با MSC-CM، تجمع ماستسل‌ها در پوست کمتر از گروه درماتیتی است. تجمع ماستسل‌ها در بافت پوست گروه درماتیتی درمان شده با باتماتازون شباهت بسیاری به گروه درمان شده با MSC-CM است.



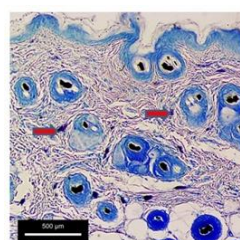
برش پوستی تهیه شده از گروه درماتیتی شده با DNCB



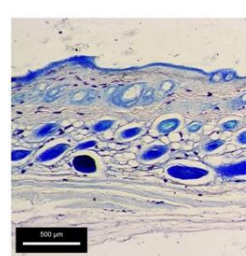
برش پوستی تهیه شده از گروه درماتیتی شده با DNCB و درمان شده با باتماتازون

منحنی شکل شماره ۸ امتیاز شدت التهاب برای هریک از گروه‌ها را نشان می‌دهد. تجویز DNCB به افزایش امتیاز التهاب در این منطقه به عدد ۱۰، در مقایسه با گروه کنترل ۵/۰ منجر شد. امتیاز التهاب در گروه درماتیتی و دریافت کننده باتماتازون ۱/۵ و برای گروه درماتیتی درمان شده با CM معادل ۲ است. به این ترتیب مشخص می‌شود که اثربخشی ضدالتهابی MSC-CM با داروی باتماتازون برابر است.

شکل شماره ۹ تصاویر بافت پوست رنگ آمیزی شده



برش پوستی تهیه شده از گروه کنترل



برش پوستی تهیه شده از گروه درماتیتی شده با DNCB و درمان شده با باتماتازون

شکل شماره ۹. تصاویر میکروسکوپی رنگ آمیزی شده با تولوئیدن بلو برای مشخص کردن تراکم سلول‌های ماست در بافت پوست. نمونه‌های پوستی با روش تولوئیدن بلو رنگ آمیزی شدند. برای تشخیص سلول‌های ماست در تصاویر، در تصویر A سلول‌های ماست که به رنگ بنفش درآمده‌اند، با فلاش مشخص گردیده‌اند.

گروه درماتیتی درمان شده با باتمازوون $22/3$ است. اثربخشی درمان با MSC-CM با باتمازوون بر امتیاز التهاب با یکدیگر برابر است.

جدول شماره ۱ نتایج میانگین امتیاز التهاب را نشان می‌دهد. امتیاز التهاب در گروه کنترل $3/21$ ، گروه درماتیت $79/4$ ، گروه درمان شده با $24/43$ MSC-CM و $22/3 \pm 0/3$ باتمازوون است.

جدول شماره ۱. نتایج شدت التهاب محاسبه شده برای گروههای مختلف

گروههای پژوهش	کنترل	DNCB	MSC-CM+DNCB	+باتمازوون
میانگین شدت التهاب	$5/5 \pm 21 \pm 3$	$79/4 \pm 0/4$	$24/43 \pm 3$	$22/3 \pm 0/3$

یافته‌های پیشین نشان می‌دهد که تغییرات IL-4 در مدل درماتیت القашده با DNCB نسبت به دیگر عامل‌های التهابی، اهمیت بیشتری دارد (۱۸) و درمان با MSC-CM می‌تواند آن را کاهش دهد. علاوه بر این، یافته‌های ما نقش MDA در درماتیت حاصل از این مدل مشابه با مطالعات پیشین را تأیید می‌کند و یافته‌های ما نشان داد که سطح این عامل در پوست دچار درماتیت توسط MSC-CM کاهش می‌یابد (۱۹).

مطالعات انجام شده در ارتباط با اثر درمانی تجویز موضعی MSC-CM روی پوست، به تازگی و به صورت بسیار محدود منتشر شده‌اند که تأیید کننده و همسو با یافته‌های ما در پژوهش حاضر است؛ اما در عین حال محققین مدعی شده‌اند که این آثار مثبت MSC-CM از طریق میانجی‌های شیمیایی چون عامل‌های رشد، سایتولکین‌ها و ترکیبات ماتریکس خارج سلولی موجود در این محیط کشت اعمال می‌شوند (۲۰)؛ همچنین مطالعات نشان دادند که ترکیبات موجود در MSC-CM ممکن است از طریق پوست جذب گرددند. همین امر توجیه می‌کند که چگونه ممکن است تجویز موضعی MSC-CM در پژوهش حاضر می‌تواند سبب درمان درماتیت ناشی از DNCB شود (۲۱).

به علت بروز برخی عوارض مسمومیت به دنبال مصرف خوراکی و تجویزی MSC-CM، دانشمندان ترجیح می‌دهند که از این محیط کشت به صورت موضعی یا در غلظت‌های بسیار اندک استفاده کنند که این مطلب هم تأییدی بر مطالعه حاضر و انتخاب روش درمان با تجویز موضعی این محیط کشت به موش‌ها برای مقابله با

بحث و نتیجه‌گیری

هدف مطالعه حاضر بررسی آثار درمان با MSC-CM بر آسیب‌های شبهدرماتیت ناشی از تجویز موضعی DNCB بر پوست بدن و لاله گوش موش‌ها بود. تجویز موضعی DNCB باعث القای حالتی مشابه با درماتیت آتوپیک پوستی در موش‌ها با علائمی مانند خونریزی، خراشیدگی، فرسایش و خشکی در سطح پوست شد. در مقابل، درمان با MSC-CM به‌طور چشمگیری شدت درماتیت را در موش کاهش داد. علاوه بر این، افزایش تعداد سلول‌های کراتین‌ساز در لایه اپiderمی پوست، ادم و التهاب پوستی در گروه DNCB و در گروه درمان شده با MSC-CM کاهش یافت؛ همچنین مشخص شد که آثار MSC-CM پیشگیری‌کننده MSC-CM و باتمازوون با تعديل در غلظت ایترولوکین-۴ و MDA در بافت پوست مرتبط است. نفوذ ماستسل‌ها یکی از ویژگی‌های اصلی ضایعات درماتیتی است. ماستسل‌ها منبعی برای ترشح IL-4 هستند (۱۵). مطالعه حاضر از دیدگاه بافت‌شناسی نشان داد که در بافت پوست موش‌های حساس شده به DNCB، درجه بالایی از مهاجرت ماستسل‌ها به پوست مشاهده می‌شود و درمان با MSC-CM سبب کاهش تعداد ماستسل‌های پوستی گردید. در تأیید یافته‌های ما، مطالعات دیگر یکی از سازوکارهای القای درماتیت توسط DNCB را تشدید تولید محصولات پراکسیداسیون لیپیدی و IL-4 در بدن عنوان کرده‌اند (۱۶). علاوه بر این، نقش افزایش دیگر عامل‌های التهابی چون IL-1، IL-2، IFN-alpha، IFN-gama، IL-6 و IL-17 در خون بیماران درماتیت گزارش شده است (۱۷). پژوهش حاضر مشابه با

DNCB در بافت‌های پوست موش‌ها، از طریق القای عامل‌های التهابی چون IL-4 و محصول پراکسیداسیون چربی‌ها، MDA تحت اثر استرس اکسیداتیو در بافت پوست با منشأ تجمع سلول‌های ماست موجود در بافت پوست ایجاد شده و با درمان توسط تجویز موضعی- MSC-CM تا حدودی فراوانی قابل کنترل است، اگرچه این یافته‌ها هنوز به موارد تأیید و پژوهش بیشتری نیاز دارد.

تشکر و قدردانی

مقاله حاضر مستخرج از پایان‌نامه کارشناسی ارشد نویسنده اول از دانشگاه شاهد تهران است.

تعارض منافع

هیچ‌گونه تعارض منافع وجود ندارد.

کد اخلاق: IR.SHAHED.REC.1399.095

References

1. Ständer S, Simpson EL, Guttman-Yassky E, Thyssen JP, Kabashima K, Ball SG, et al. Clinical Relevance of Skin Pain in Atopic Dermatitis. *J Drugs Dermatol* 2020; 19:921-6. doi: 10.36849/JDD.2020.5498.
2. Na CH, Chung J, Simpson EL. Quality of Life and Disease Impact of Atopic Dermatitis and Psoriasis on Children and Their Families. *Children (Basel)* 2019; 6:133. doi: 10.3390/children6120133.
3. Mulick AR, Allen V, Williams HC, Grindlay DJC, Pearce N, Abuabara K, et al. Classifying atopic dermatitis: protocol for a systematic review of subtypes (phenotypes) and associated characteristics. *BMJ Open* 2018; 8: e023097. doi: 10.1136/bmjopen-2018-023097.
4. Yalcin AD. An overview of the effects of anti-IgE therapies. *Med Sci Monit* 2014; 20:1691-9. doi: 10.12659/MSM.890137.
5. Brown SJ, McLean WH. Eczema genetics: current state of knowledge and future goals. *J Invest Dermatol* 2009; 129:543-52. doi: 10.1038/jid.2008.413.
6. Bajgai J, Fadriquela A, Ara J, Begum R, Ahmed MF, Kim CS, et al. Balneotherapeutic effects of high mineral spring water on the atopic dermatitis-like inflammation in hairless mice via immunomodulation and redox balance. *BMC Complement Altern Med* 2017;17:481. doi: 10.1186/s12906-017-1985-8.
7. da Costa Gonçalves F, Grings M, Nunes NS, Pinto FO, Garcez TN, Visioli F, et al. Antioxidant properties of mesenchymal stem cells against oxidative stress in a murine model of colitis. *Biotechnol Lett* 2017; 39:613-22. doi: 10.1007/s10529-016-2272-3.
8. Li K, Yan G, Huang H, Zheng M, Ma K, Cui X, et al. Anti-inflammatory and immunomodulatory effects of the extracellular vesicles derived from human umbilical cord mesenchymal stem cells on osteoarthritis via M2 macrophages. *J Nanobiotechnology* 2022; 20:38. doi: 10.1186/s12951-021-01236-1.
9. Kay AG, Long G, Tyler G, Stefan A, Broadfoot SJ, Piccinini AM, et al. Mesenchymal Stem Cell-Conditioned Medium Reduces Disease Severity and Immune Responses in Inflammatory Arthritis. *Sci Rep* 2017; 7:18019. doi: 10.1038/s41598-017-18144-w.
10. Zhang EY, Chen AY, Zhu BT. Mechanism of dinitrochlorobenzene-induced dermatitis in mice: role of specific antibodies in pathogenesis. *PLoS One* 2009;4: e7703. doi: 10.1371/journal.pone.0007703.
11. Duo L, Hu L, Tian N, Cheng G, Wang H, Lin Z, et al. TRPV1 gain-of-function mutation impairs pain and itch sensations in mice. *Mol Pain* 2018; 14:1744806918762031. doi: 10.1177/1744806918762031.
12. Jang HY, Koo JH, Lee SM, Park BH. Atopic dermatitis-like skin lesions are suppressed in fat-1 transgenic mice through the inhibition of inflammasomes. *Exp Mol Med* 2018; 50:1-9. doi: 10.1038/s12276-018-0104-3.

است (۲۲). پیش از این نیز، اثر ضدالتهابی ترکیبات یافت شده در MSC-CM توسط مطالعات دیگر پژوهشگران روی اپیتلیوم قرنیه چشم بررسی و تأیید شده است (۲۳). سیزارامان در سال ۲۰۱۹، اثر مفید MSC-CM برای کنترل علائم حاد شدید پوستی و مقاوم به درمان در شرایط بالینی را برای بیماری AD مفید گزارش کرده بود (۲۴). این مطالعه نشان داد که MSC-CM در برابر التهاب ناشی از درماتیت القا شده با AD در موش‌ها مؤثر است. در تأیید یافته ما گزارش شده که MSC-CM حاوی ترکیبات مهارکننده التهاب است. یافته‌های این پژوهش نشان داد که تجویز این محیط کشت اثر مستقیمی بر آستانه درد ندارد؛ اما توانست درد و شرایط ناشی از تجویز DNBC را تا حدودی کنترل کند. تحقیقات پیشین نشان داده‌اند که تجویز محیط کشت سلول‌های بنیادی آثار ضد دردی اندکی دارند که این مطلب با یافته‌های ما در این پژوهش همخوانی دارد (۲۵).

نتایج این مطالعه نشان می‌دهد که القای AD توسط

13. Filip A, Daicoviciu D, Clichici S, Bolfa P, Catoi C, Baldea I, et al. The effects of grape seeds polyphenols on SKH-1 mice skin irradiated with multiple doses of UV-B. *J Photochem Photobiol B* 2011; 105:133-42. doi: 10.1016/j.jphotoobiol.2011.08.002.
14. Conti M, Morand PC, Levillain P, Lemonnier A. Improved fluorometric determination of malonaldehyde. *Clin Chem* 1991; 37:1273-5.
15. McLeod JJ, Baker B, Ryan JJ. Mast cell production and response to IL-4 and IL-13. *Cytokine* 2015; 75:57-61. doi: 10.1016/j.cyto.2015.05.019.
16. Han M, Wang X, Wang J, Lang D, Xia X, Jia Y, et al. Ameliorative effects of epigallocatechin-3-gallate nanoparticles on 2,4-dinitrochlorobenzene induced atopic dermatitis: A potential mechanism of inflammation-related necrosis. *Front Nutr* 2022; 9:953646. doi: 10.3389/fnut.2022.953646.
17. Martin SF, Esser PR, Weber FC, Jakob T, Freudenberg MA, Schmidt M, et al. Mechanisms of chemical-induced innate immunity in allergic contact dermatitis. *Allergy* 2011; 66:1152-63. doi: 10.1111/j.1398-9995.2011.02652.x.
18. Chiricozzi A, Maurelli M, Peris K, Girolomoni G. Targeting IL-4 for the Treatment of Atopic Dermatitis. *Immunotargets Ther* 2020; 9:151-156. doi: 10.2147/ITT.S260370.
19. Xian D, Guo M, Xu J, Yang Y, Zhao Y, Zhong J. Current evidence to support the therapeutic potential of flavonoids in oxidative stress-related dermatoses. *Redox Rep* 2021; 26:134- 46. doi: 10.1080/13510002.2021.1962094.
20. Wang S, Qu X, Zhao RC. Clinical applications of mesenchymal stem cells. *J Hematol Oncol* 2012; 5:19. doi: 10.1186/1756-8722-5-19.
21. Takahashi H, Ohnishi S, Yamamoto Y, Hayashi T, Murao N, Osawa M, et al. Topical Application of Conditioned Medium from Hypoxically Cultured Amnion-Derived Mesenchymal Stem Cells Promotes Wound Healing in Diabetic Mice. *Plast Reconstr Surg* 2021; 147:1342-52. doi: 10.1097/PRS.0000000000007993.
22. Horn AP, Bernardi A, Luiz Frozza R, Grudzinski PB, Hoppe JB, de Souza LF, et al. Mesenchymal stem cell-conditioned medium triggers neuroinflammation and reactive species generation in organotypic cultures of rat hippocampus. *Stem Cells Dev* 2011; 20:1171-81. doi: 10.1089/scd.2010.0157.
23. Bloom DD, Centanni JM, Bhatia N, Emler CA, Drier D, Leverson GE, et al. A reproducible immunopotency assay to measure mesenchymal stromal cell-mediated T-cell suppression. *Cytotherapy* 2015; 17:140-51. doi: 10.1016/j.jcyt.2014.10.002.
24. Seetharaman R, Mahmood A, Kshatriya P, Patel D, Srivastava A. Mesenchymal Stem Cell Conditioned Media Ameliorate Psoriasis Vulgaris: A Case Study. *Case Rep Dermatol Med* 2019; 2019:8309103. doi: 10.1155/2019/8309103.
25. Trallori E, Ghelardini C, Di Cesare Mannelli L. Mesenchymal stem cells, implications for pain therapy. *Neural Regen Res* 2019; 14:1915-16. doi: 10.4103/1673-5374.259615.